

SID



ابزارهای
پژوهش



سرویس ترجمه
تخصصی



کارگاه های
آموزشی



بلاگ
مرکز اطلاعات علمی



سامانه ویراستاری
STES



فیلم های
آموزشی

کارگاه های آموزشی مرکز اطلاعات علمی



آموزش مهارت های کاربردی در تدوین و چاپ مقالات ISI

آموزش مهارت های کاربردی
در تدوین و چاپ مقالات ISI



روش تحقیق کمی

روش تحقیق کمی



آموزش نرم افزار Word برای پژوهشگران

آموزش نرم افزار Word
برای پژوهشگران

طراحی و پیاده سازی یک کمک پردازنده برای رمزنگاری مبتنی بر منحنی های بیضوی

بابک صادقیان

BaSadegh@aut.ac.ir

محمد جمشیدی

jamshidi56ir@yahoo.com

آزمایشگاه امنیت داده ها

دانشگاه صنعتی امیرکبیر - دانشکده مهندسی کامپیوتر

چکیده

در این مقاله طراحی یک کمک پردازنده برای رمزنگاری مبتنی بر منحنی های بیضوی شرح داده شده است. در مقایسه با پیاده سازی های قبلی، ما از الگوریتم مونتگمری برای عملیات ضرب نقطه و به همراه نمایش Optimal Normal Basis برای عناصر میدان استفاده کرده ایم. عملیات کمک پردازنده در میدان $GF(2^{155})$ انجام می پذیرد، ارتباطات کمک پردازنده را طوری در نظر گرفته ایم که بتوان آنرا با هر پردازنده ۱۶ بیتی بکار برد، هدفمان طراحی کمک پردازنده ای بوده که محدودیت زمانی سیستم IFF¹ (سیستم شناسایی دوست یا دشمن) را برآورده سازد و در عین حال کمترین میزان سخت افزار را نیز مصرف کند. طرح کمک پردازنده را برای FPGAهای Xilinx سنتز نموده ایم که برای تراشه XCV300، CLB ۲۱۳۹ مصرف نموده است و عملیات ضرب نقطه در آن $3.38ms$ طول می کشد که حدوداً دو برابر سریعتر از طرح مشابه [3] است.

کلمات کلیدی: رمزنگاری، منحنی های بیضوی، کمک پردازنده، FPGA

۱- مقدمه

کولیتز و میلر در سال ۱۹۸۵ رمزنگاری منحنی های بیضوی (ECC²) را ارائه کردند. ECC در مقایسه با سایر سیستم های رمز کلید عمومی مثل RSA و لگاریتم گسسته مزایای طول کلید کمتر، امنیت بیشتر و سخت افزار مورد نیاز کمتر را دارد. ECC برای کاربردهایی که در آنها محدودیت تعداد بیت وجود دارد مناسب است و مزایای آن عبارتند از [3]:
ECC بالاترین درجه محرمانگی به ازای هر بیت را در بین همه سیستمهای رمز کلید عمومی دارد، بنابراین حافظه کمتری نیاز دارد.

¹ -Identification Friend or Foe

² -Elliptic Curve Cryptography

ECC احتمالاً خیلی امن تر از RSA می باشد، زیرا تاکنون بزرگترین پیمانانه های حل شده برای RSA ۵۱۲ بیتی و ECC ۹۷ بیتی بوده، با این تفاوت که توان محاسباتی که برای Crack کردن ECC ۹۷ بیتی بکار برده شده تقریباً ۲ برابر توان محاسباتی است که برای RSA ۵۱۲ بیتی بکار برده شده است. مسأله لگاریتم گسسته اساس سیستم رمز منحنی های بیضوی می باشد.

پیاده سازی های قبلی از رمزنگاری مبتنی بر منحنی های بیضوی شامل پیاده سازی روی تراشه های VLSI و FPGA می باشد. در [11] طراحی و پیاده سازی VLSI یک پردازنده برای سیستم رمز منحنی های بیضوی ارائه شده و در آن از نمایش Normal Basis برای نمایش عناصر میدان استفاده شده است. در این طرح برای $GF(2^{155})$ از 11000 گیت استفاده شده و فرکانس سیکل ساعت آن 40MHz می باشد. در [12] طراحی VLSI یک پردازنده سیستم رمز منحنی های بیضوی با استفاده از Asynchronous Wave Pipeline (AWPs) انجام شده است. در این طرح از نمایش Normal Basis برای نمایش عناصر میدان استفاده شده است. نتایج شبیه سازی Layout این طرح سرعت 1.5GHz را در تکنولوژی $0.35\mu m$ CMOS نشان می دهد. با این سرعت زمان اجرای عملیات ضرب نقطه در $GF(2^{270})$ برابر $434.7\mu s$ می باشد.

در [9] طراحی و پیاده سازی روی FPGA یک پردازنده سیستم رمزنگاری مبتنی بر منحنی های بیضوی ارائه شده و در آن از نمایش Polynomial Basis برای نمایش عناصر میدان استفاده شده است. در این طرح تأکید بر روی میدان های ترکیبی $(GF(2^m))$ بوده است و نتایج شبیه سازی و پیاده سازی روی FPGA، مدت زمان اجرای عملیات ضرب نقطه را در $GF(2^8)^{21}$ برابر $4.5ms$ نشان می دهد.

در [10] یک کمک پردازنده برای سیستم رمز منحنی های بیضوی پیشنهاد شده است و در آن از نمایش Polynomial Basis برای نمایش عناصر میدان استفاده شده است، این طرح در حالت $GF(2^{163})$ روی FPGA پیاده سازی شده است و فرکانس سیکل ساعت آن 3MHz و مدت زمان اجرای عملیات ضرب نقطه در آن $80ms$ می باشد.

در [3] یک پردازنده Microcode برای سیستم رمز منحنی های بیضوی ارائه شده و در آن از نمایش ONB¹ استفاده شده است. این طرح در حالت $GF(2^{163})$ روی FPGA پیاده سازی شده است و فرکانس سیکل ساعت آن 36MHz و مدت زمان اجرای عملیات ضرب نقطه در آن $6.75ms$ می باشد.

در [2] معماری های پردازنده منحنی بیضوی برای محاسبه عملیات ضرب نقطه در $(GF(P), GF(2^m))$ بررسی شده اند، در $GF(2^m)$ از نمایش Polynomial Basis استفاده شده است. این معماری ها برای پیاده سازی روی FPGA مناسب می باشند.

در این مقاله پیاده سازی یک کمک پردازنده برای رمزنگاری منحنی های بیضوی روی FPGAهای Xilinx شرح داده شده است. در اکثر پیاده سازی های قبلی نیاز به یک اینترفیس با پهنای زیاد برای ارتباط با ورودی می باشد، همچنین اکثر آنها از الگوریتم Double and Add برای واحد کنترلشان استفاده کرده اند. ما در اینجا اینترفیس با هر پردازنده ۱۶ بیتی را در نظر گرفته ایم. همچنین از ترکیب نمایش ONB برای عناصر میدان به همراه استفاده از الگوریتم مونتگمری برای واحد کنترل استفاده کرده ایم. طرح کمک پردازنده را برای FPGAهای Xilinx سنتز نموده ایم که برای تراشه XCV300، CLB ۲۱۳۹ مصرف نموده است و عملیات ضرب نقطه در آن $3.38ms$ طول می کشد.

ادامه مطالب این مقاله به صورت مقابل می باشد: در قسمت ۲ تعریف منحنی های بیضوی آورده شده و در قسمت ۳ عملیات ضرب نقطه و الگوریتم مونتگمری شرح داده شده است، در قسمت ۴ عملیات محاسباتی میدان $GF(2^n)$ بررسی شده اند، در

¹ -Optimal Normal Basis

قسمت ۵، واحدهای مختلف کمک پردازنده شرح داده شده است و در قسمت ۶ نتایج حاصل از شبیه سازی و سنتز طرح کمک پردازنده آورده شده و نهایتاً در قسمت ۷ نتیجه گیری آورده شده است.

۲- منحنی های بیضوی روی میدان $GF(2^n)$

یک منحنی بیضوی non-supersingular در میدان $GF(2^n)$ ، مجموعه همه نقاطی است که در معادله زیر صدق می کنند:

$$y^2 + xy = x^3 + ax^2 + b \quad a, b \in GF(2^n), b \neq 0$$

تاکنون هیچ روشی برای تحلیل این منحنی ها یافت نشده که پیچیدگی زمانی آن کمتر از نمایی باشد.

۳- عملیات ضرب نقطه

معمولاً در کاربردهای رمزنگاری از عملیات ضرب نقطه استفاده می شود، عملیات ضرب نقطه به صورت زیر می باشد:

$$Q = k.P = \underbrace{P + P + \dots + P}_k$$

که P یک نقطه روی منحنی و $k \in GF(2^n)$ یک عدد n بیتی می باشد.

عملیات جمع دو نقطه در حالت مختصات دوبعدی (affine coordinates) و مختصات سه بعدی (projective coordinates) قابل انجام است، در حالت مختصات دوبعدی از عمل معکوس سازی استفاده می شود. عمل معکوس سازی، عمل زمان بری است چون به دنباله ای از عملیات ضرب و توان دوم رسانی تبدیل می شود. اگر از منحنی بیضوی در حالت مختصات سه بعدی استفاده شود عمل معکوس سازی حذف می گردد. برای جزئیات بیشتر در مورد مختصات projective و تبدیل از مختصات affine به projective می توانید به [1] مراجعه کنید.

عملیات جمع دو نقطه در حالت مختصات سه بعدی به صورت زیر می باشد:

با فرض $P = (x_1, y_1, z_1)$, $Q = (x_2, y_2, z_2)$, $R = P + Q = (X_3, Y_3, Z_3)$ ، که $x_1, y_1, z_1, x_2, y_2, z_2, x_3, y_3, z_3 \in GF(2^n)$ ، اگر $P \neq Q$ (عملیات Add):

$$X_3 = AD$$

$$Y_3 = CD + A^2(Bx_1 + Ay_1)$$

$$Z_3 = A^3 z_1$$

$$D = A^2(A + az_1) + z_1 BC, C = A + B$$

اگر $P = Q$ (عملیات Double):

$$X_3 = AB$$

$$Y_3 = x_1^4 A + B(x_1^4 + y_1 z_1 + A)$$

$$Z_3 = A^3$$

$$B = bz_1^4 + x_1^4, A = x_1 z_1$$

الگوریتم های مختلفی برای عملیات ضرب نقطه وجود دارد [2]، که عبارتند از ۶ الگوریتم:

Double-and-Add (binary), ω -ary, Addition-Subtraction, Signed ω -ary, Width- ω Addition-Subtraction, Montgomery

در جدول ۱ پیچیدگی محاسباتی و حافظه مورد نیاز الگوریتم های ضرب نقطه مطابق [2] نمایش داده شده است. پیچیدگی محاسباتی بر مبنای تعداد عملیات Add (یا تفریق) و Double معین شده است ($m = \lceil \log_2^k \rceil$). حافظه مورد نیاز هم به صورت تعداد مکان حافظه n بیتی برای نگهداری عناصر میدان در نظر گرفته شده است.

جدول ۱: پیچیدگی الگوریتم های ضرب نقطه

حافظه مورد نیاز	#Point Double	#Point Add	الگوریتم
4	m	m/2	Double-and-Add
$2^{\omega+1}$	$2^{\omega-1} + m$	$2^{\omega-1} + m/\omega$	ω -ary
4	m	m/3	Addition-Subtraction
2^{ω}	$2^{\omega-2} + m$	$2^{\omega-2} + m/\omega$	Signed ω -ary
$2^{\omega-1}$	m	$2^{\omega-2} + m/\omega$	Width- ω Addition-Subtraction
8	m	m	Montgomery

با توجه به اینکه عملیات Add و Double در الگوریتم مونتگمری با سایر الگوریتم ها متفاوت است، لذا معیار مقایسه را تعداد عملیات محاسباتی میدان منتهای قرار می دهیم. با توجه به عملیات Add و Double که در فوق شرح دادیم تعداد عملیات محاسباتی میدان منتهای برای Add و Double در مختصات projective به صورت جدول ۲ بدست آوردیم:

جدول ۲: تعداد عملیات محاسباتی میدان منتهای برای عملیات Add و Double

	#Add	#Square	#Mult
Add	۷	۱	۱۳
Double	۵	۴	۷

پیچیدگی محاسباتی الگوریتم های ضرب نقطه بر اساس تعداد عملیات محاسباتی میدان منتهای را در جدول ۳ محاسبه کرده و نشان داده ایم. در این جدول مقدار $\omega = 5$ برای الگوریتم های زیر انتخاب کرده ایم:

ω -ary, Signed ω -ary, Width- ω Addition-Subtraction

با توجه به مقایسه ای که بین الگوریتم های بالا انجام داده ایم الگوریتم مونتگمری دارای کمترین پیچیدگی محاسباتی می باشد و از لحاظ میزان حافظه مورد نیاز نیز در رتبه دوم قرار دارد. با توجه به تعامل بین میزان حافظه و پیچیدگی محاسباتی روش مونتگمری به عنوان بهترین روش انتخاب می شود.

جدول ۳: پیچیدگی محاسباتی الگوریتم های ضرب نقطه بر اساس تعداد عملیات محاسباتی میدان منتهای

حافظه	#Add	#Square	#Mult	#Inversion	الگوریتم
4	8.5m	4.5m	13.5m	1	Double-and-Add
64	6.4m+192	4.2m+80	9.6m+320	1	ω -ary
4	7.33m	4.33m	11.33m	1	Addition-Subtraction
32	6.4m+96	4.2m+40	9.6m+160	1	Signed ω -ary
16	6.16m+56	4.16m+8	9.16m+104	1	Width- ω Addition-Subtraction
8	3m+7	4m+3	7m+10	1	Montgomery

در شکل ۱ الگوریتم ضرب نقطه مونتگمری برای مختصات projective نمایش داده شده است. عملیاتی که در توابع Mxy و ... انجام می شوند، عملیات محاسباتی در $GF(2^n)$ می باشند. الگوریتم مونتگمری در حالت مختصات affine هم وجود دارد و برای جزئیات بیشتر در مورد الگوریتم مونتگمری در مختصات های affine و projective می توانید به [6] مراجعه کنید.

۴- عملیات محاسباتی $GF(2^n)$

عناصر میدان اصطلاحاً با Basis نمایش داده می شوند. یکی از طبقه بندی های معماری های میدان متناهی بر اساس نحوه نمایش عناصر میدان می باشد که مهمترین آنها، نمایش Polynomial Basis (Standard یا Canonical) و Normal Basis می باشد. در Normal Basis یک عنصر A به صورت زیر نمایش داده می شود:

$$A = \sum_{i=0}^{n-1} a_i \beta^{2^i} \quad a_i \in GF(2), \beta \in GF(2^n)$$

در این نمایش عناصر میدان به صورت بردار باینری π بیتی نمایش داده می شوند.

نوع خاصی از Normal Basis را ONB گویند. ONBها منجر به کمترین پیچیدگی برای ضرب کننده میدان متناهی می شوند. یک ONB در $GF(2^n)$ برای ۲۳٪ از مقادیر $n < 1000$ وجود دارد [7]. دو نوع ONB وجود دارد که به آنها نوع اول و نوع دوم می گویند. در $GF(2^{155})$ ، ONB نوع دوم وجود دارد.

۴-۱- جمع و توان دوم رساننده در $GF(2^n)$

عمل جمع در $GF(2^n)$ بسادگی با XOR کردن بیت های متناظر انجام می شود. چون از نمایش Normal Basis استفاده می کنیم، عمل توان دوم رسانی بوسیله یک عمل انتقال دورانی به چپ انجام می شود:

$$\alpha = \sum_{i=0}^{n-1} a_i \beta^{2^i} = (a_{n-1}, a_{n-2}, \dots, a_1, a_0) \Rightarrow \alpha^2 = \sum_{i=0}^{n-1} a_i \beta^{2^{i+1}} = \sum_{i=0}^{n-1} a_{i-1} \beta^{2^i} = (a_0, a_{n-1}, a_{n-2}, \dots, a_1)$$

۴-۲- ضرب در $GF(2^n)$

معمولاً ضرب دشوارترین عمل در $GF(2^n)$ می باشد که سرعت و کارایی سیستم رمز را معین می کند. معماری های ضرب در $GF(2^n)$ به دو دسته bit-serial (یک بیت خروجی در هر سیکل ساعت) و bit-parallel (همه بیت های خروجی در یک سیکل ساعت محاسبه می شوند) تقسیم می شوند. معماریهایی به صورت ترکیبی (hybrid) وجود دارند که قسمتی از آن بصورت سریال و قسمتی از آن به صورت موازی اجرا می شود. در طرح کمک پردازنده ما از ضرب کننده bit-serial استفاده کرده ایم چون این کمک پردازنده را برای سیستم IFF در نظر گرفته ایم و در آنجا، محدودیت زمانی زیادی نداریم. عملیات ضرب در $GF(2^n)$ در نمایش

Normal Basis به صورت زیر می باشد. فرض کنید که $A = \sum_{i=0}^{n-1} a_i \beta^{2^i} = (a_{n-1}, a_{n-2}, \dots, a_1, a_0)$ و

عناصر دلخواهی از $GF(2^n)$ و $C = A.B$ باشد، پس داریم:

$$C = \sum_{k=0}^{n-1} c_k \beta^{2^k} = \sum_{i=0}^{n-1} \sum_{j=0}^{n-1} a_i b_j \beta^{2^i} \beta^{2^j} \quad (1)$$

$$\beta^{2^i} \beta^{2^j} = \sum_{k=0}^{n-1} \lambda_{ij}^{(k)} \beta^{2^k}, \quad \lambda_{ij}^{(k)} \in \{0,1\} \quad (2)$$

از روابط (۱) و (۲) می توان نتیجه گرفت که:

$$c_k = \sum_{i=0}^{n-1} \sum_{j=0}^{n-1} a_i b_j \lambda_{ij}^{(k)}, \quad 0 \leq k \leq n-1 \quad (3)$$

اگر طرفین رابطه (۲) به توان 2^{-1} برسد، عبارت زیر حاصل خواهد شد:

$$\beta^{2^{i-1}} \beta^{2^{j-1}} = \sum_{k=0}^{n-1} \lambda_{i-1, j-1}^{(k)} \beta^{2^k} = \sum_{k=0}^{n-1} \lambda_{ij}^{(k)} \beta^{2^{k-1}} \quad (4)$$

با محاسبه ضرایب β^{2^0} داریم:

$$\lambda_{i,j}^{(l)} = \lambda_{i-l,j-l}^{(0)}, \quad 0 \leq i, j, l \leq n-1 \quad (5)$$

رابطه (۳) را می توان به صورت زیر نوشت:

$$c_k = \sum_{i=0}^{n-1} \sum_{j=0}^{n-1} a_i b_j \lambda_{i-k,j-k}^{(0)} = \sum_{i=0}^{n-1} \sum_{j=0}^{n-1} a_{i+k} b_{j+k} \lambda_{ij}^{(0)} \quad (6)$$

محاسبه ماتریس λ بستگی به مقدار n دارد، پیچیدگی سخت افزاری ضرب کننده بوسیله C_N (تعداد عناصر غیر صفر در ماتریس λ) معین می گردد. در حالت ONB مقدار $C_N = 2n-1$ است در این حالت ضرب کننده دارای کمترین پیچیدگی سخت افزاری می باشد.

۴-۲-۱- ضرب کننده Massey-Omura

از معادله (۶) می توان برای پیاده سازی ضرب کننده Massey-Omura استفاده کرد. Massey و Omura از یک مدار منطقی با ورودی های A و B برای محاسبه C_0 استفاده کرده اند [4]. با استفاده از همان مدار منطقی و به وسیله چرخش دورانی A و B به تعداد k بار می توان C_k را محاسبه کرد.

۴-۲-۲- ضرب کننده Agnew

در [8]، Agnew یک معماری برای ضرب کننده پیشنهاد داده است خاصیت مهم این روش معماری منظم آن می باشد. برای توضیحات بیشتر در مورد این روش می توانید به [4] مراجعه کنید.

۴-۲-۳- مقایسه ضرب کننده های Massey-Omura و Agnew

ضرب کننده هایی که در قسمت های قبلی بررسی شدند عملیات ضرب را در n سیکل ساعت انجام می دهند، پس پیچیدگی زمانی اینها با هم برابر می باشد. در [4] مقایسه ای روی تعداد گیت های ضرب کننده های Massey-Omura و Agnew انجام شده که در جدول ۵ نتیجه این مقایسه نشان داده شده است.

جدول ۴: مقایسه تعداد گیت های ضرب کننده های Massey-Omura و Agnew [4]

Massey-Omura	Agnew	
$3n$	$3n$	Flip Flop
$2n-2$	$2n$	XOR
$2n-1$	n	AND

با توجه به مقادیر جدول ۵ روش Agnew از لحاظ میزان سخت افزار بهینه می باشد لذا در طرح ضرب کننده کمک پردازنده از روش Agnew استفاده کرده ایم.

۴-۳- معکوس کردن در $GF(2^n)$

محاسبه معکوس در $GF(2^n)$ با نمایش Normal Basis از دنباله ای ضرب و توان دوم رسانی تشکیل شده است تأخیر محاسبه معکوس به تعداد عملیات ضرب آن بستگی دارد بنابراین همه الگوریتم های معکوس کردن بر روی کاهش تعداد عملیات ضرب تمرکز دارند. در $GF(2^n)$ و با نمایش Normal Basis معمولاً بهتر است که در عملیات معکوس سازی از تئوری Fermat استفاده شود چون عمل توان دوم رسانی به سادگی با یک انتقال دورانی به چپ انجام می شود. با توجه به تئوری Fermat که در آن

$$\alpha^{2^n} = \alpha \Rightarrow \alpha^{-1} = \alpha^{2^n-2}$$

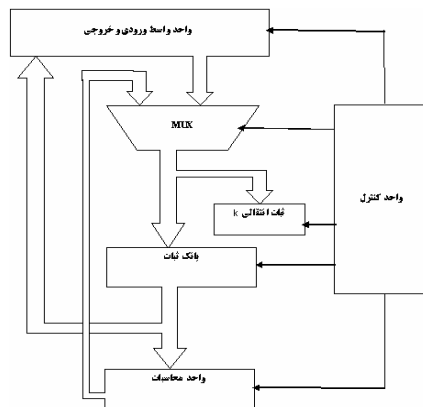
معکوس α به صورت زیر محاسبه می شود:

روش هایی که برای تجزیه $2^n - 2$ بکار می روند منجر به پیچیدگی های مختلفی از لحاظ تعداد عملیات ضرب میدان متناهی و میزان حافظه مورد نیاز برای عملیات معکوس سازی می شوند.

ما از الگوریتمی که در [5] پیشنهاد شده و مناسب ترین الگوریتم از لحاظ تعداد کمتر عملیات ضرب می باشد استفاده کرده ایم. در این روش محاسبه معکوس $NM = \lfloor \log_2(n-1) \rfloor + H_\omega(n-1) - 2$ عمل ضرب و $NS = (n-1) + H_\omega(n-1) - 2$ عمل توان دوم رسانی نیاز دارد، که $H_\omega(n-1)$ تعداد بیت های ۱ نمایش باینری عدد $n-1$ می باشد.

۵- واحدهای مختلف کمک پردازنده

کمک پردازنده طراحی شده عملیات رمز نگاری مبتنی بر منحنی های بیضوی را در میدان $GF(2^{155})$ انجام می دهد. ارتباطات این کمک پردازنده با پردازنده های ۱۶ بیتی در نظر گرفته شده است. بلوک دیاگرام کلی طرح کمک پردازنده در شکل ۵ نمایش داده شده است.



شکل ۱: بلوک دیاگرام کلی طرح کمک پردازنده

قسمت های اصلی کمک پردازنده عبارتند از:

- ۱- واحد واسط ورودی و خروجی: چون مقادیر مورد استفاده ۱۵۵ بیتی و گذرگاه داده ۱۶ بیتی می باشد، لذا این واحد برای دریافت و ارسال اطلاعات بصورت ۱۶ بیتی استفاده می شود.
- ۲- واحد بانک ثبات: برای نگهداری ضرائب منحنی بیضوی و مقادیر k و مختصات $P = (x_p, y_p)$ و $Q = (x_q, y_q)$ و همچنین نتایج میانی محاسبات بکار می رود.
- ۳- واحد محاسبات: عملیات محاسباتی $GF(2^{155})$ که شامل جمع و ضرب و توان دوم رساننده می باشد و عمل تست صفر شدن در این واحد انجام می شود.
- ۴- واحد کنترل: وظیفه کنترل واحدهای مختلف و همچنین عملیات ضرب نقطه را بر عهده دارد.
- ۵- واحد ثبات انتقالی k : به علت اینکه واحد کنترل نیاز به مقدار بیت های k برای کنترل انجام عملیات ضرب نقطه دارد، لذا k در یک ثبات انتقالی قرار داده می شود.

۶- شبیه سازی و سنتز طرح کمک پردازنده

از VHDL برای توصیف طرح کمک پردازنده استفاده شده است. این طرح را برای محصولات شرکت Xilinx سنتز نمودیم. در جدول ۶ نتایج حاصل از سنتز طرح کمک پردازنده روی FPGA های خانواده های Spartan2E, Spartan2, Virtex-II و Virtex آورده شده است. در این جدول فرکانس سیکل ساعت و همچنین میزان منابع استفاده شده از FPGA نشان داده شده است. ساختار CLB های FPGA این جدول با هم مشابه است و تفاوت آنها در تعداد این منابع و همچنین منابع لازم برای مسیریابی می باشد.

در این جدول زمان لازم برای محاسبه عملیات ضرب نقطه نیز محاسبه شده است این محاسبه بر اساس فرکانس سیکل ساعت و تعداد سیکل های لازم برای محاسبه عملیات ضرب نقطه در بدترین حالت، انجام شده است.

جدول ۵: نتایج حاصل از سنتز طرح کمک پردازنده روی FPGAهای Xilinx

خانواده	تراشه انتخاب شده از خانواده	CLB Slices	Function Generators	Dffs or Latches	Clock(MHz)	Time for K.P (ms)
Spartan2	XIS2200	2139	4052	4277	48.2	3.84
Spartan2E	XIS2E200	2139	4052	4277	43.1	4.29
Virtex	XCV200	2139	4052	4277	56	3.3
VirtexE	XCVE200	2139	4052	4277	85.7	2.15
Virtex-II	XC2V500	2139	4060	4277	117	1.58

۶-۱- مقایسه با طرح [3]

در [3] یک پردازنده Microcode برای سیستم رمز منحنی های بیضوی ارائه شده است که مشابه طرح پیشنهادی ما می باشد. در آن از نمایش ONB استفاده شده و برای واحد ضرب کننده آن، ضرب کننده Agnew بکار برده اند. تفاوت طرح پیشنهادی و این طرح در واحد کنترل می باشد، ما از الگوریتم مونتگمری استفاده کرده ایم و در این طرح از الگوریتم Double and Add استفاده شده است. همچنین ما واحد کنترل را با ماشین حالت متناهی (FSM) ایجاد کرده ایم ولی در این طرح از Microcode برای واحد کنترل استفاده کرده اند. هدف از طرح ما طراحی یک کمک پردازنده برای سیستم IFF بوده بطوریکه محدودیت های این سیستم را پوشش دهد. هدف از طرح [3] طراحی یک پردازنده بوده که برای هر مقدار ONB از n بتوان آنرا ساخت در ضمن استفاده از Microcode در آن باعث شده که اینترفیس آن با PC بسیار ساده شود.

با توجه به این که طرح فوق برای XCV300 سنتز شده است، ما نیز طرح پیشنهادی را برای این FPGA سنتز کردیم تا بهتر بتوانیم این طرح ها را با هم مقایسه کنیم. نتایج حاصل از سنتز طرح پیشنهادی و این طرح در جدول ۷ نشان داده شده است.

جدول ۶: مقایسه طرح پیشنهادی و طرح [3]

طرح	CLB Slices	Clock(MHz)	Time for K.P (ms)	K.P operation per second
طرح [3]	1567	36	6.75	148
طرح پیشنهادی	2139	54.6	3.38	294

با توجه به مقادیر جدول ۷ طرح پیشنهادی سریعتر از طرح [3] می باشد، در عوض طرح پیشنهادی مقدار CLB بیشتری استفاده می کند. البته باید توجه داشت که طرح پیشنهادی دارای یک واحد ورودی-خروجی می باشد که این واحد 155 CLB Slice مصرف می کند با توجه به این نکته میزان CLB طرح پیشنهادی 1984 می شود که باز هم بیشتر از میزان CLB طرح [3] می باشد. با توجه به نتایج جدول ۷ و تشابه زیاد طرح پیشنهادی ما و طرح [3] و اینکه اختلاف آنها در واحد کنترلشان می باشد (در طرح پیشنهادی ما از الگوریتم مونتگمری و در طرح آنها از الگوریتم Double-and-Add استفاده شده است) می توان چنین نتیجه گیری کرد که سرعت و تعداد CLB بیشتر طرح پیشنهادی ما به علت استفاده از الگوریتم مونتگمری و پیاده سازی FSM واحد کنترل می باشد.

۷- نتیجه گیری

در این مقاله طراحی یک کمک پردازنده که عملیات رمز نگاری مبتنی بر منحنی های بیضوی را در میدان $GF(2^{155})$ انجام می دهد آورده شده است. بدین منظور مقایسه ای بین الگوریتم های ضرب نقطه انجام داده و بدین نتیجه رسیدیم که الگوریتم

مونتگمری سریعترین الگوریتم ضرب نقطه می باشد. همچنین مقایسه ای بین ضرب کننده های Agnew و Massey-Omura انجام داده ایم که دیدیم ضرب کننده Agnew میزان سخت افزار کمتری مصرف می کند و در طرحمان از ضرب کننده Agnew استفاده کرده ایم. برای اولین بار نیز ترکیب استفاده از نمایش ONB برای عناصر میدان و الگوریتم مونتگمری برای واحد کنترل را بکار برده ایم که این ترکیب منجر به سرعت بهتر در مقایسه با طرح مشابه [3] شد. طرح کمک پردازنده را برای FPGAهای Xilinx سنتز نموده ایم که برای تراشه XCV300، 2139 CLB مصرف نموده است و عملیات ضرب نقطه در آن $3.38ms$ طول می کشد که حدوداً دو برابر سریعتر از طرح مشابه [3] است. این کمک پردازنده برای سیستم IFF طراحی شده است که اگر در سیستم IFF از این کمک پردازنده استفاده شود فرآیند شناسایی $15ms$ طول می کشد. اگر در طی این زمان دو هواپیمای F-14 با ماگزیم سرعتشان به سمت هم حرکت کنند با طی مسافت ۱۱،۵ متر هر هواپیما می تواند دیگری را شناسایی کند.

مراجع

- [1] م. جمشیدی، "طراحی و پیاده سازی یک کمک پردازنده خاص منظوره برای سیستم شناسایی دوست یا دشمن در هواپیما"، پایان نامه کارشناسی ارشد، دانشکده مهندسی کامپیوتر و فن آوری اطلاعات، دانشگاه صنعتی امیرکبیر، تهران، ایران، اردیبهشت ۱۳۸۲.
- [2] G. Orlando, "Efficient Elliptic Curve Processor Architectures for Field Programmable Logic", PhD's Thesis, ECE Dept., Worcester Polytechnic Institute, Worcester, USA, March, 2002 .
- [3] K.H. Leung, K.W. Ma, W.K. Wong, and P.H.W. Leong , "FPGA Implementation of a Microcoded Elliptic Curve Cryptographic Processor", *In Eight Annual IEEE Symposium on Field-Programmable Custom Computing Machines, FCCM '00*, Napa Valley, California, USA, 2000.
- [4] S. Sutikno and A. Surya, "An Architecture of F_{2^n} Multiplier for Elliptic Curves Cryptosystem", *ISCAS'2000, IEEE International Symposium on Circuits and Systems*, pp. 1-279_1-282 , May 2000.
- [5] L. Gao and G. E. Sobelman , "Improved VLSI Designs for Multiplication and Inversion in $GF(2^m)$ over Normal Bases", *IEEE Trans. On computers* , vol.c-34, no.8, pp. 97-101, Aug. 2000.
- [6] J. Lopez and R. Dahab, "Fast Multiplication on Elliptic Curves over $GF(2^m)$ without Precomputation" ,*In Cryptographic Hardware and Embedded Systems - CHES'99 (LNCS 1717)*, pages 316-327. Springer-Verlag, 1999.
- [7] R. C. Mullin, I. M. Onyszchuk, S. A. Vanstone and R. M. Wilson, "Optimal Normal Bases in $GF(p^n)$ " , *Discrete Applied Mathematics*, vol. 22, pp. 149-161, 1988/89.
- [8] G. B. Agnew, R. C. Mullin, I. M. Onyszchuk and S. A. Vanstone, "An Implementation for a Fast Public Key Cryptosystem", *Journal of Cryptology*, 3(1991), 63-79.
- [9] M. Rosner, "Elliptic Curve Cryptosystems on Reconfigurable Hardware", Master's Thesis, ECE Dept., Worcester Polytechnic Institute, Worcester, USA, May 1998.
- [10] S. Okada, N. Torii, K. Itoh and M. Takenaka, "Implementation of Elliptic Curve Cryptographic Coprocessor over $GF(2^m)$ on an FPGA", *CHESS 2000, (LNCS 1965)*, pp. 25-40, Springer-Verlag, Berlin Heidelberg, 2000.
- [11] G.B. Agnew, R.C. Mullin, and S.A. Vanstone. "An Implementation of Elliptic Curve Cryptosystems over F_2^{155} ", *IEEE Journal on Selected areas in Communications*, 11(5):804-813, June 1993.
- [12] O. Hauck, A. Katoch and S. A. Huss, "VLSI System Design Using Asynchronous Wave Pipelines: A $0.35\mu m$ CMOS 1.5GHz Elliptic Curve Public Key Cryptosystem Chip", *Proc. IEEE ASYNC 2000*, Eilat, April 2000.

SID



ابزارهای
پژوهش



سرویس ترجمه
تخصصی



کارگاه های
آموزشی



بلاگ
مرکز اطلاعات علمی



سامانه ویراستاری
STES



فیلم های
آموزشی

کارگاه های آموزشی مرکز اطلاعات علمی



تازه های آموزش
آموزش مهارت های کاربردی در تدوین و چاپ مقالات ISI

آموزش مهارت های کاربردی
در تدوین و چاپ مقالات ISI



تازه های آموزش
روش تحقیق کمی

روش تحقیق کمی



تازه های آموزش
آموزش نرم افزار Word برای پژوهشگران

آموزش نرم افزار Word
برای پژوهشگران